



## ویژگی‌های بافتی و شیمی کانی در مجموعه‌ی پلوتونیک قروه (کردستان): شواهدی بر پدیده آمیختگی / اختلاط ماقمایی

ashraf.torkian@basu.ac.ir

گروه زمین‌شناسی، دانشگاه بوعلی سینا، همدان

(دریافت مقاله: ۹۰/۱/۱۶، نسخه نهایی: ۹۰/۴/۲۷)

چکیده: منطقه‌ی مورد بررسی در بخش جنوبی مجموعه‌ی پلوتونیک قروه قرار دارد. بررسی شواهد بافتی و شیمی کانی‌ها در سنگ گرانیت‌وئیدی میزبان با ترکیب گرانودیوریت، گرانیت، مونزونیت کوارتزدار و برونبوم‌های ریزدانه مافیک (MME) درون آن، با ترکیب کوارتزدیوریت تا ملادیوریت مورد توجه این مقاله است. بررسی‌های دقیق میکروسکوپی و داده‌های تجزیه ریزپردازش الکترونی بر ناتعادلی‌های بافتی و ترکیبی (حضور پلازیوکلازهای سلولی شکل پر از ادخال، ناحیه‌بندی و انحلال بلوری، آپاتیت سوزنی، فلدسپارهایی با رورشده و آمفیبولهای زونی) در سنگ میزبان و برونبوم‌ها دلالت دارد. به سبب همخوانی شواهد بافتی و کانی‌شناسی، نظریه البرگ را در این خصوص می‌پذیریم که گلبول‌هایی از ماقمای مافیک و سنگ میزبان گرانیت‌وئیدی با یکدیگر آمیخته شده و فرایند موثر در تشکیل برونبوم‌ها حداقل یک اختلاط ساده مکانیکی (آمیختگی)، حاصل از ضربان‌های ماقمای مافیک در یک مخزن ماقمایی فلزیک، بوده است. این واقعیت با شرایط ژئوشیمیایی و محیط زمین‌ساختی استقرار این مجموعه در پهنه‌ی سندج- سیرجان به عنوان یک زون بجامانده از یک رژیم فرورانش همخوانی دارد.

واژه‌های کلیدی: گرانیت‌وئید، برونبوم، آمیختگی، اختلاط ماقمایی، قروه، کردستان.

اصطلاح اختلاط ماقمایی (magma mixing) به ترکیب شدن کامل دو ماقمای مافیک و فلزیک و در نتیجه حاصل شدن ماقمایی همگن با ترکیب حدواسط گفته می‌شود ولی آمیختگی ماقمایی (magma mingling) نتیجه‌ی تقابل مکانیکی دو ماقمای متضاد است که هنوز ویژگیهای دو ماقمای مخلوط شده اثرهای خود را حفظ کرده‌اند.

این مقاله سعی دارد تا شواهد وابسته به آمیختگی / اختلاط ماقمایی را در این مجموعه بررسی کند. نتایج به دست آمده از روابط صحرائی، شواهد بافتی و داده‌های تجزیه ریزپردازش الکترونی پلازیوکلازها و آمفیبول‌ها در برونبوم و گرانیت‌وئید میزبان‌شان مهم‌ترین مدارک مورد بررسی در این مقاله‌اند.

### مقدمه

معرفی ما از برونبوم (enclave = انکلاو) مترادف با معنایی است که [۱] استفاده نمود و عبارتند از (۱) زینولیت‌ها، (۲) رسیت-های [۲] تولیت‌ها، (۴) برونبوم‌های ریزدانه ماقمایی که خود بر حسب ترکیب کانیایی شامل فلزیک و مافیک هستند. نوع اخیر فراوان‌ترین نوع برونبوم‌ها در نیمه‌ی قلیائی و بهویژه در آهکی-قلیایی‌ها هستند [۲] و حضور آن‌ها در مناطق فرورانش ویژگی بر جسته‌ای محسوب می‌شود.

بررسی ژئوکوئین‌ها برای شناخت خاستگاه گرانیت‌وئیدهای میزبان‌شان امری لازم و ضروری است [۲] و نمی‌تواند از بررسی در سنگ‌های میزبان منفک باشد [۳]. لازم به یادآوری است که

\*نویسنده مسئول: تلفن - نمبر: ۸۳۸۱۴۶۰ (۰۸۱۱)، پست الکترونیکی: a-torkian@basu.ac.ir

کیلوولت(kV) و جریان رویش ۲۰ نانوآمپر(nA) بوده است. برای تعیین مقدار  $\text{Fe}^{+3}$  از روش [۴] استفاده و نتایج داده در جدول-های ۱ تا ۳ آورده شده‌اند. به علاوه یک نمونه از بلورهای آلانیت موجود در سنگ گراناتوپوریت میزبان نیز مورد تجزیه‌ی XRD قرار گرفته است.

### روش بررسی

با هدف بررسی‌های سنگنگاری ۷۵ مقطع نازک از برونویوم‌ها و میزبان تهیه و به منظور بررسی ترکیب شیمیائی و تغییرات ترکیبی، پلازیوکلазها و آمفیبول‌های انتخاب و با استفاده از یک ریزکاونده‌ی الکترونی CAMECA SX50، در دانشگاه اکلاهما (امريكا) تجزیه شدند. ولتاژ شتاب‌دهنده دستگاه ۱۵

جدول ۱ نتایج تجزیه ریزپردازش الکترونی از پلازیوکلاز برونویوم‌ها. برای دستیابی به فرمول ساختاری پلازیوکلازها براساس ۸ اکسیژن از نرم افزار [۲۱] بهره گرفته شده است.

شماره نمونه	۵۸EP	۵۹EP	۶۰EP	۵۸EP	۵۹EP	۶۰EP	۶۱EP	۶۲EP	۶۳EP
$\text{SiO}_2$	۴۸,۰۵	۵۰,۷۷	۵۰,۸۶	۴۸,۶۰	۴۸,۶۷	۵۰,۰۴	۴۹,۳۷	۴۸,۹۶	۵۱,۰۴
$\text{TiO}_2$	۰,۰۲	۰,۰۲	۰,۰۸	۰,۰۲	۰,۰۴	۰,۰۶	۰	۰,۰۱	۰,۱۵
$\text{Al}_2\text{O}_3$	۳۱,۳۸	۳۱,۲۶	۳۱,۲۷	۳۲,۹۳	۳۱,۹۲	۳۱,۶۷	۳۱,۷۹	۳۲,۰۲	۳۰,۶۲
$\text{FeO}^{\text{total}}$	۰,۱۹	۰,۱۶	۰,۶۳	۰,۰۹	۰,۴۳	۰,۰۹	۰,۰۷	۰,۱۲	۰,۷۳
$\text{MgO}$	۰,۰۹	۰,۱	۰,۲۷	۰,۰۴	۰,۲۷	۰,۰۳	۰,۰۳	۰,۰۴	۰,۲۲
$\text{MnO}$	۰,۰۱	۰,۰۱	۰	۰	۰,۰۲	۰	۰,۰۱	۰,۰۱	۰,۰۲
$\text{CaO}$	۱۵,۰۱	۱۲,۴۷	۱۲,۹۴	۱۵,۳۹	۱۴,۴۱	۱۴,۲۱	۱۴,۷۱	۱۴,۸۳	۱۲,۸۹
$\text{SrO}$	۰,۰۶	۰,۰۸	۰,۰۷	۰,۰۴	۰,۰۷	۰,۰۷	۰,۰۶	۰,۰۸	۰,۰۳
$\text{BaO}$	۰	۰,۰۴	۰,۰۷	۰,۰۵	۰	۰,۰۴	۰	۰,۰۴	۰
$\text{Na}_2\text{O}$	۲,۷۹	۳,۸۴	۴,۰۲	۲,۷۰	۳,۱۰	۳,۴۱	۳,۱۲	۳,۰۲	۴,۰۷
$\text{K}_2\text{O}$	۰,۱۴	۰,۰۵	۰,۳۷	۰,۱۳	۰,۲۳	۰,۰۶	۰,۰۷	۰,۰۸	۰,۳۲
F	۰,۰۶	۰,۰۴	۰,۰۶	۰,۰۸	۰,۱۰	۰,۰۱	۰,۰۹	۰,۲۲	۰,۱۱
Cl	۰	۰,۱	۰,۰۲	۰	۰,۰۱	۰,۰۱	۰	۰,۰۱	۰
Total	۹۷,۷۷	۹۹,۶۲	۱۰۰,۶	۱۰۰,۰۳	۹۹,۲۲	۹۹,۷۴	۹۹,۲۸	۹۹,۳۶	۱۰۰,۱۵
An%	۷۴,۲	۶۵,۸	۶۲,۷	۷۵,۲	۷۱	۶۹,۵	۷۲	۷۲,۷	۶۲,۴
Ab%	۲۴,۹	۳۳,۹	۳۵,۲	۲۴	۲۷,۷	۳۰,۲	۲۷,۶	۲۶,۸	۳۵,۷
Or%	۰,۸	۰,۳	۲,۱	۰,۸	۱,۳	۰,۳	۰,۴	۰,۵	۱,۸

جدول ۲ نتایج تجزیه ریزپردازش الکترونی پلازیوکلازی و هاله پرتیتی پیرامون آن در برونویوم‌ها. برای دستیابی به فرمول ساختاری کاتی‌ها از نرم-افزار [۲۱] بهره گرفته شده است.

شماره نمونه	۱EP	۲EP	۳EP	۴EP	۵EP	۶EP	۷EP	۸EP	۹EP	۱۰EP
$\text{SiO}_2$	۵۴,۴۳	۵۷,۱۱	۵۶,۸۲	۵۷,۵۱	۵۷,۱۱	۶۴,۰۲	۶۱,۵۰	۶۳,۸۰	۶۳,۲۴	۶۲,۲۳
$\text{TiO}_2$	۰,۶	۰,۰۳	۰,۰۴	۰,۱	۰,۰۳	۰	۰,۰۳	۰,۰۴	۰,۰۳	۰,۰۱
$\text{Al}_2\text{O}_3$	۲۶,۸۹	۲۶,۱۳	۲۵,۹۲	۲۵,۹۵	۲۶,۳۹	۲۲,۴۳	۲۳,۶۱	۲۲,۱۲	۲۱,۸۴	۲۳,۰۵
$\text{FeO}^{\text{total}}$	۰,۲۷	۰,۴۱	۰,۹۲	۰,۶۳	۰,۱۷	۰,۱۷	۰,۲۳	۰,۲۲	۰,۲۷	۰,۲۰
$\text{MgO}$	۰,۰۳	۰,۰۱	۰,۰۲	۰,۱۳	۰,۰۱	۰	۰,۰۱	۰	۰,۰۴	۰,۰۱
$\text{MnO}$	۰,۰۱	۰	۰,۰۲	۰,۰۱	۰	۰,۰۱	۰	۰,۰۱	۰	۰
$\text{CaO}$	۸,۵۳	۸,۳۸	۸,۱۰	۸,۰۴	۸,۶۵	۳,۳۶	۵,۲۴	۳,۷۶	۲,۸۹	۴,۵۲
$\text{SrO}$	۰,۰۲	۰,۱۱	۰,۰۶	۰,۰۶	۰,۰۸	۰	۰,۰۲	۰,۰۴	۰,۰۲	۰,۰۵
$\text{BaO}$	۰,۰۵	۰,۰۹	۰,۰۷	۰,۰۱	۰,۱۵	۰,۰۱	۰,۰۸	۰,۰۹	۰,۰۵	۰,۰۶
$\text{Na}_2\text{O}$	۵,۹۴	۶,۸۱	۶,۷۵	۷,۰۳	۶,۸۴	۱۰,۰۳	۸,۶۷	۹,۴۹	۸,۹۱	۹,۲۲
$\text{K}_2\text{O}$	۰,۳۳	۰,۲۲	۰,۵۸	۰,۳۵	۰,۲۱	۰,۱۹	۰,۲۱	۰,۳۸	۱,۵۶	۰,۱۹
F	-	-	-	-	-	-	-	-	-	-
Cl	-	-	-	-	-	-	-	-	-	-
Total	۹۶,۷۴	۹۹,۳۰	۹۹,۵۳	۹۹,۹۳	۹۹,۶۳	۱۰۰,۲۴	۹۹,۶۱	۱۰۰,۹۷	۹۸,۸۶	۹۹,۶۵
An%	۴۲,۳	۴۰	۳۸,۵	۳۷,۹	۴۰,۶	۱۵,۵	۲۴,۸	۱۷,۶	۱۳,۸	۲۰,۹
Ab%	۵۶,۶	۵۸,۸	۵۸,۲	۶۰,۱	۵۸,۲	۸۳,۵	۷۴,۱	۸۰,۳	۷۷,۳	۷۸
Or%	۲	۱,۲	۳,۳	۲	۱,۲	۱	۱,۲	۲,۱	۸,۹	۱,۱

## ادامه جدول ۲

شماره نمونه	1-EP- حاشیه پرتبی	2-EP- حاشیه پرتبی	3-EP- حاشیه پرتبی
SiO <sub>2</sub>	۶۴,۰۲	۶۴,۲۵	۶۴,۱۲
TiO <sub>2</sub>	۰,۰۳	۰,۰۲	۰,۰۱
Al <sub>2</sub> O <sub>3</sub>	۱۸,۵۸	۱۸,۴۸	۱۸,۳۳
FeO <sup>total</sup>	۰,۲۶	۰,۲۸	۰,۱۳
MgO	-	-	-
MnO	۰,۰۲	-	-
CaO	۰,۱۶	۰,۱۵	۰,۰۳
SrO	۰,۰۱	۰,۰۲	۰,۰۷
BaO	۰,۳۵	۰,۳۴	۰,۱۲
Na <sub>2</sub> O	۲,۳۶	۲,۰۳	۱,۲۱
K <sub>2</sub> O	۱۲,۵۳	۱۳,۶۷	۱۵,۰۹
F	-	-	-
Cl	-	-	-
Total	۹۸,۲۳	۹۹,۲۵	۹۹,۲۲
An%	۰,۸	۰,۸	۰,۱
Ab%	۲۲,۱	۱۸,۳	۱۰,۹
Or%	۷۷	۸۱	۸۹

جدول ۳ نتایج تجزیه ریزپردازش الکترونی از آمفیبول‌هایی از منطقه‌ی اختلاط ماغمای میزان گرانیتوئیدی و برونویوم. برای دستیابی به فرمول ساختاری کاتیون ۱۳ بر مبنای ۲۱ کاتیون (13) eCNK [21]MINPET از نرم‌افزار [21] بهره گرفته شده است.

شماره نمونه	حاشیه بروونی نقطه ۱۰۰	حاشیه بروونی نقطه ۱۰۱	حاشیه بروونی نقطه ۱۰۲	حاشیه بروونی نقطه ۱۰۳	حاشیه بروونی نقطه ۱۰۴	حاشیه بروونی نقطه ۱۰۵	حاشیه بروونی نقطه ۱۰۶	حاشیه بروونی نقطه ۱۰۷	حاشیه بروونی نقطه ۱۰۸	حاشیه بروونی نقطه ۱۰۹
SiO <sub>2</sub>	۵۰,۸۳	۴۸,۵۹	۴۸,۳۴	۴۷,۹۸	۴۸,۱۰	۴۷,۶۰	۴۷,۱۰	۴۷,۸۷	۴۷,۵۶	۴۷,۴۷
TiO <sub>2</sub>	۰,۵۸	۱,۱۶	۱,۱۲	۱,۴۷	۱,۵۴	۰,۴۵	۰,۳۰	۰,۱۱	۰,۴۷	۰,۳۹
Al <sub>2</sub> O <sub>3</sub>	۳,۰۵	۴,۶۳	۴,۵۵	۴,۸۵	۴,۸۱	۲,۸۲	۲,۵۴	۱,۸۹	۲,۸۴	۲,۳۱
FeO <sup>total</sup>	۱۷,۹۴	۱۷,۶۲	۱۷,۸۵	۱۷,۵۰	۱۷,۶۲	۱۲,۷۰	۱۵,۷۲	۱۱,۸۷	۱۵,۱۵	۱۴,۳۴
MgO	۱۲,۷۷	۱۲,۹۳	۱۲,۷۹	۱۲,۷۷	۱۲,۶۱	۱۶,۴۱	۱۴,۲۱	۱۶,۷۱	۱۴,۴۵	۱۴,۹۳
MnO	۰,۳۰	۰,۴۲	۰,۴۲	۰,۳۸	۰,۴۴	۰,۱۱	۰,۱۹	۰,۰۹	۰,۱۷	۰,۱۳
CaO	۱۱,۰۹	۱۰,۲۲	۱۰,۰۵	۱۰,۴۷	۱۰,۳۶	۱۲,۲۳	۱۱,۶۷	۱۲,۴۷	۱۱,۷۰	۱۱,۷۷
SrO	-	۰,۰۲	۰,۰۱	-	-	-	-	۰,۰۲	۰,۰۲	-
BaO	-	-	۰,۰۵	۰,۰۳	۰,۰۳	۰,۰۶	۰,۰۱	-	۰,۰۶	۰,۰۱
Na <sub>2</sub> O	۰,۸۰	۱,۳۸	۱,۵۷	۱,۶۲	۱,۵۱	۰,۸۷	۰,۶۸	۰,۳۹	۰,۷۲	۰,۶۸
K <sub>2</sub> O	۰,۲۶	۰,۴۷	۰,۴۸	۰,۴۵	۰,۴۸	۰,۲۸	۰,۲۲	۰,۱۳	۰,۲۶	۰,۲
Fe+Mg	۳۰,۶۹	۳۰,۵۵	۳۰,۶۴	۳۰,۰۷	۲۵,۳۱	۲۷,۳۱	۲۹,۹۳	۲۸,۵۸	۲۹,۶۰	۲۹,۱۷
MgO/FeO	۰,۷۱	۰,۷۳	۰,۷۲	۰,۷۲	۰,۷۱	۱,۹۳	۰,۹۰	۱,۴۰	۰,۹۵	۱,۰۴
Fe/(Fe+Mg)	۰,۵۸	۰,۵۷	۰,۵۸	۰,۵۸	۰,۷۰	۰,۴۶	۰,۵۲	۰,۴۱	۰,۵۱	۰,۴۹
Si	۷,۳۹	۷,۰۷	۷,۰۷	۷,۰۵	۷,۰۴	۷,۰۵	۷,۰۴	۷,۰۷	۷,۶۰	۷,۶۰
Al (iv)	۰,۵۲	۰,۸۰	۰,۷۸	۰,۸۴	۰,۸۳	۰,۴۷	۰,۴۲	۰,۳۱	۰,۴۶	۰,۴۰
T	۷,۹۱	۷,۸۷	۷,۸۵	۷,۸۹	۷,۸۷	۷,۹۵	۷,۷۸	۸	۷	۷,۹۸
Al (vi)	-	-	-	-	-	-	-	۰,۰۱	۰,۰۲	-
Ti	۰,۰۶	۰,۱۳	۰,۱۲	۰,۱۶	۰,۱۷	۰,۰۵	۰,۰۳	۰,۰۱	۰,۰۵	۰,۰۴
Cr	-	-	-	-	-	-	-	-	-	-
Fe(iii)	۰,۸۱	۱,۱۴	۱,۱۵	۰,۹۰	۱	۰,۴۶	۱,۰۴	۰,۲۴	۰,۵۰	۰,۵۰
Fe(ii)	۱,۳۸	۱	۱,۰۳	۱,۲۵	۱,۱۷	۱,۰۵	۰,۸۱	۱,۰۸	۱,۳۲	۱,۳۸
Mn	۰,۰۴	۰,۰۵	۰,۰۵	۰,۰۵	۰,۰۵	۰,۰۱	۰,۰۲	۰,۰۱	۰,۰۲	۰,۰۱
Mg	۲,۷۹	۲,۸۰	۲,۷۸	۲,۷۵	۲,۷۵	۳,۴۸	۳,۳۰	۳,۵۶	۳,۰۹	۳,۲۲
C	۵,۰۸	۵,۱۳	۵,۱۵	۵,۱۱	۵,۱۳	۵,۰۵	۵,۲۲	۵	۵	۵,۰۱
Ca	۱,۷۴	۱,۶۰	۱,۶۰	۱,۶۵	۱,۶۲	۰,۱۹	۱,۸۰	۱,۹۰	۱,۸۰	۱,۸۲
Na	۰,۲۲	۰,۳۹	۰,۴۲	۰,۳۵	۰,۳۷	۰,۱۳	۰,۱۹	۰,۱۰	۰,۲۰	۰,۱۷
B	۱,۹۶	۱,۹۸	۲	۲	۲	۱,۹۵	۲	۱,۹۹	۲	
Na	-	-	۰,۲۰	۰,۱۰	۰,۰۵	۰,۱۰	-	۰,۰۱	-	۰,۰۱
K	۰,۰۵	۰,۹	۰,۰۹	۰,۰۸	۰,۰۹	۰,۰۵	۰,۰۴	۰,۰۲	۰,۰۵	۰,۰۳
A	۰,۰۵	۰,۰۹	۰,۱۰	۰,۱۹	۰,۱۴	۰,۱۵	۰,۰۴	۰,۰۴	۰,۰۴	۰,۰۵
Mg <sup>#</sup>	۵۵,۹	۵۶,۷	۵۶,۱	۵۶,۱	۵۶,۱	۵۹,۷	۶۱,۷	۷۱,۵	۶۳	۶۵

بالا- پالئوسن قرار دارند. فعالیت‌های کوهزایی سبب دگرگونی سنگ‌های تریاس- ژوراسیک شده که به اعتقاد [۱۱] مرمر، آمفیبولیت، شیست و فیلیت محصول آنها هستند.

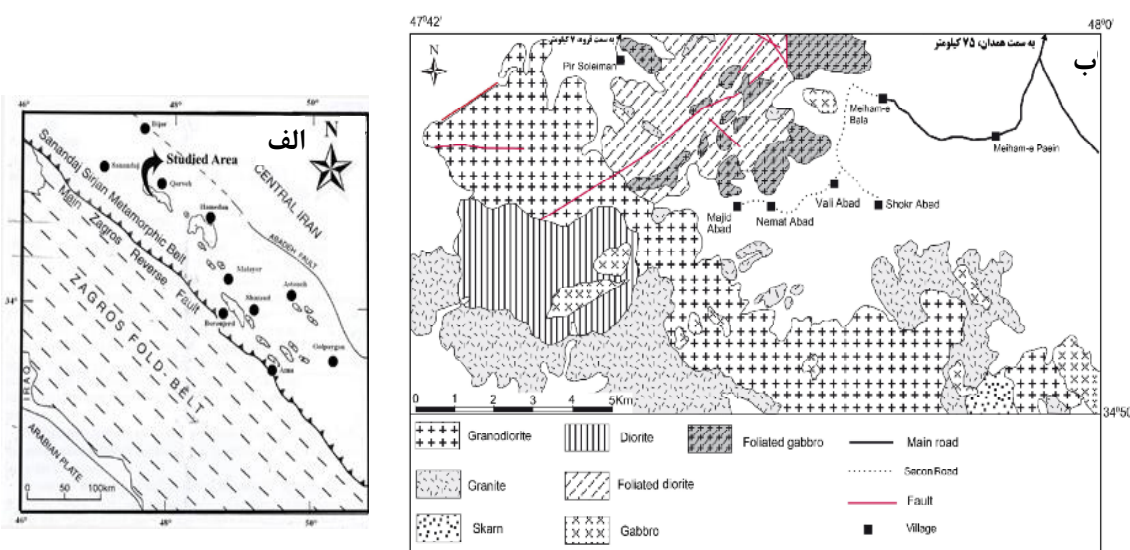
**سنگشناختی و سنگنگاری توده‌های نفوذی میزان**  
واحد میزان در رده‌ی متالومین‌های فلسیک و دارای ویژگی‌های گرانیت‌توده‌های نوع I است [۱۰]. ترکیب سنگشناختی از گرانات‌دیوریت، گرانیت تا موزنوزنیت کوارتزدار متغیر و متوسط تا درشت‌دانه هستند. دامنه‌ی متغیر کانیایی این واحد موجب شد تا مجموعه‌ای از سنگ‌هایی با ترکیب مختلف در کنار یکدیگر یافت شوند. واحد میزان بیشتر از پلاژیوکلاز (۴۰-۵۰٪)، فلدسپارهای قلیائی (۲۰-۳۲٪)، هورنبلند (۱۳-۲۵٪) و کوارتز به میزان ۱۰ تا ۱۵ درصد ساخته شده که با کانی‌های فرعی و جزئی بیوتیت، زیرکن، اسفن، آپاتیت، آلانیت و کانی‌های فلزی همراهی می‌شوند.

بافت غالب دانه‌ای نیمه‌شکل‌دار است ولی گاهی بافت پورفیروئیدی نیز مشاهده شده است. در بافت اخیر بلورهای درشت پلاژیوکلاز عموماً به شکل صفحه‌ای (تابولا) نیمه‌شکل‌دار تا شکل‌دار هستند. پلاژیوکلازها از منطقه‌بندی تنایی، عادی و پیچیده و نیز ماکل‌های کارلسبد و آلبیت و یا تواماً از این دو ماکل برخوردارند. فلدسپارهای قلیائی از نوع ارتوکلاز پرتیتی و میکروکلین است.

### زمین‌شناسی منطقه‌ی مورد بررسی و روابط صحرائی

پهنه‌ی سندنج- سیرجان بواسطه‌ی زیراندگی پوسته‌ی اقیانوسی نئوتیس به زیر بلوک ایران مرکزی و به دنبال آن برخورد بین ورقه‌ی آفریکو- عربی و خرد ورقه‌ی ایران شکل گرفته است (برای مثال به [۵] مراجعه شود). درین پهنه، مجموعه‌های نفوذی چندی به صورت زنجیره‌ای، از جمله باخوبیت گرانیت‌توده‌ی قروه قرار دارند (شکل ۱ الف و ب). در هر یک از آنها کمابیش به حضور برونبوم‌هایی با خاستگاه‌های گوناگون (برای مثال [۶-۸] اشاره کرده‌اند).

همبافت گرانیت‌توده‌ی جنوب شهرستان قروه (استان کردستان)، با گستره‌ای به مختصات جغرافیایی  $47^{\circ} 42' \text{ E}$ ،  $34^{\circ} 50' \text{ N}$  طول‌های شرقی و  $48^{\circ} 0' \text{ E}$ ،  $34^{\circ} 48' \text{ N}$  عرض‌های شمالی، در بردارنده‌ی توده‌های فلسیک تا مافیک است که به سبب نفوذ مکرر ماقماهایی با ترکیبات متفاوت [۹] و یا زمین‌ساختی فعال پس از جایگیری [۱۰] به صورت یک مخلوط ماقماهی در آمده و به گرانیت‌توده‌های سری آهکی- قلیائی تعلق دارد (شکل ۱ ب). رسوب‌های دولومیتی کاملاً بلورین و خردشده تریاس، قدیمی- ترین واحد چینه‌شناسی منطقه است که به وسیله‌ی شیل، شیست و آتشفسانی‌های مشابه با سازند شمشک در البرز ایران مرکزی، به سن ژوراسیک، پوشیده شده است. آخرین دنباله‌ی رسوبی به ظاهر پیوسته مزوژوئیک- ترشیری، شیل‌ها و ماسه سنگ‌های حاوی عدسی‌های آهکی همراه با سنگ‌های آتشفسانی هستند که به طور همساز روی رسوب‌های کرتاسه



شکل ۱ الف) موقعیت منطقه نسبت به شهرستان قروه و جایگاه آن در زون سندنج- سیرجان ب) نقشه زمین‌شناسی ۱:۱۰۰۰۰۰ منطقه‌ی مورد بررسی (با کمی تغییر، مرزبندی بر اساس [۱۱])، و [۱۲] سن توده‌های نفوذی در شرق منطقه‌ی مورد بررسی (برای مثال در میهم بالا- ۱۴۹- ۱۵۲ میلیون سال برآورد شده است).

غیر ممکن است. برونبوم بیشتر دارای بافت ریزدانه‌اند ولی ضرورتاً همیشه ریزدانه نیستند و در بعضی نیز با بافت پورفیریک مشاهده می‌شود.

کانی‌ها به ترتیب فراوانی شامل پلازیوکلاز ( $An_{74-58}$ ), هورنبلندر ( $Mg\#63$ ), فلدسپار قلیائی، کوارتز و بیوتیت‌اند و آپاتیت سوزنی، زیرکن‌های بدون هاله متامیکت، اسفن، مگنتیت  $\pm$  پیروکسن آن‌ها را همراهی می‌کنند و لذا ترکیب سنگ-شناسی برونبوم‌ها کوارتزدیوریت تا ملادیوریت است. کانی‌های برونبوم‌های پورفیریک را درشت‌بلورهای پلازیوکلاز و هورنبلندر تشکیل می‌دهند. طول بلورهای پلازیوکلاز در حدود ۲ میلیمتر است و برخی از آنها منطقه‌بندی شدیدی نشان می‌دهند و گهگاه حالتی از انحلال بلور اولیه و سپس رشد فلدسپار قلیائی در حاشیه آنها نیز مشاهده می‌شود. ۳۰٪ کانی‌های زمینه را نیز پلازیوکلاز، فلدسپار قلیائی، کوارتز، بیوتیت، زیرکن و آپاتیت سوزنی بخود اختصاص داده‌اند.

برونبوم‌هایی که از هورنبلندر غنی‌ترند، با سنگ‌های میزان مافیک‌تر در برگرفته شده‌اند. فراوانی هورنبلندر در این سنگ‌ها بر گذازه‌ی مافیک سازنده‌ی آنها که نسبتاً غنی از منیزیم و آهن بوده دلالت دارد. برخی از برونبوم‌ها دارای کوارتز و فلدسپار قلیائی درشتی با بافت پوئی‌کلیتیک هستند. نوع خاصی از برونبوم‌های منطقه‌ی مورد بررسی حاوی اجتماعات فراوانی از بلورهای آمفیبول‌اند. واژه‌های متفاوتی مانند بسته‌های غنی از آمفیبول (ARC = Amphibole-rich clots) [۱۴-۱۵]، آمفیبول در بسیاری از برونبوم‌های ریزدانه‌ی مافیک و نیز در سنگ‌های میزان آن‌ها یافت می‌شوند (شکل ۲ الف - پ).

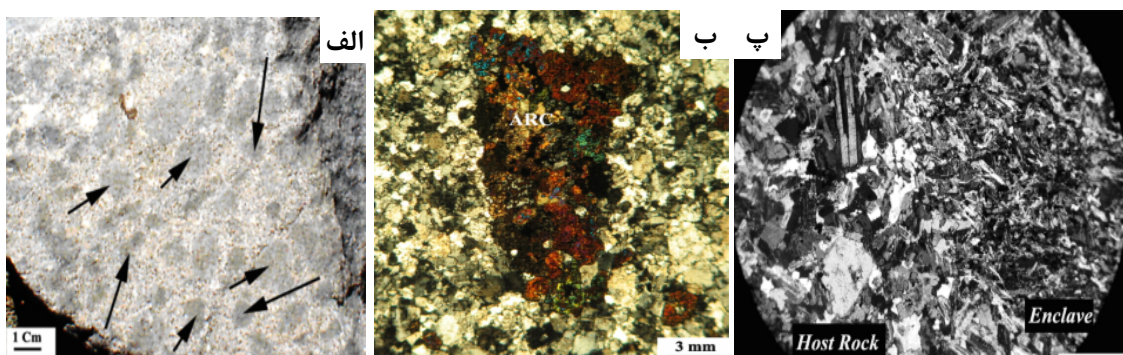
کوارتز بی‌شکل و فلدسپارهای قلیائی فواصل بین پلازیوکلازها را پر می‌کنند. آمفیبول، مهمترین کانی فرومینزیزینی است که به صورت بلورهای منفرد و تمام‌شکل دار وجود دارد. فراوانی آن در واحدهای سنگی مختلف یکسان نیست و گاهی با بیوتیت همراهی می‌شود، در این صورت فراوانی آمفیبول به کمتر از ۵ درصد می‌رسد.

#### سنگ‌شناسی و سنگ‌نگاری برونبوم‌های ریزدانه‌ی مافیک (MMEs)

برونبوم‌های ریزدانه مافیک منطقه‌ی مورد بررسی نظری تمامی برونبوم‌ها ریزدانه مافیک به‌طور قابل ملاحظه‌ای ریزتر و تیره‌تر از سنگ‌های پلوتونیک در برگیرنده‌ی خود هستند. آن‌ها در گرانودیوریت‌ها فراوان‌تر از سنگ‌های دیگر یافت می‌شوند، به‌علاوه در بخش‌های مافیک‌تر نسبتاً پرترکنم‌تر، تیره‌تر و ریزتر دانه هستند.

اندازه برونبوم‌های پس از رخمنون، از چند سانتی‌متر تا چندین دسی‌متر در نوسان است. حداکثر قطر آنها حدود ۴۰ سانتی‌متر و به صورت دور، یا طویل و کشیده دیده می‌شوند. وجود برونبوم‌های کشیده و بدون زاویه می‌تواند بیانگر تغییرشکل ناشی از جریان ماقما حین جایگیری و پیرو اعمال نیروهای برشی باشد. در عین حال برونبوم‌های کاملاً نامنظم و زاویه‌داری نیز دیده شده‌اند که شکل آن‌ها احتمالاً به‌واسیله‌ی درزه‌ها کنترل شده و حاصل شکسته شدن سنگ‌های جامدند، یعنی بازتابی از تغییرشکل در حالت جامد و یا شرایط چسبندگی بالای ماقماست [۱۳].

برونبوم‌های مافیک با داشتن مرز تماس تیز و مشخص و نیز دندانه‌دار و یا کنگره‌ای، قادر حاشیه بیوتیتی محصور کننده‌ی برونبوم هستند. جدا کردن کامل آنها از سنگ میزان



شکل ۲ (الف) نمونه دستی سنگ میزان گرانیت‌وئیدی حاوی بسته‌های غنی از آمفیبول. (ب) برش نازک سنگ (A) که در آن ابوجوه‌های آمفیبولی (ARC) بخوبی نماش داده شده‌اند. (پ) تصویر میکروسکوپی از مرز برونبوم و سنگ میزان. طول قاعده تصویر ۴ میلی‌متراست.

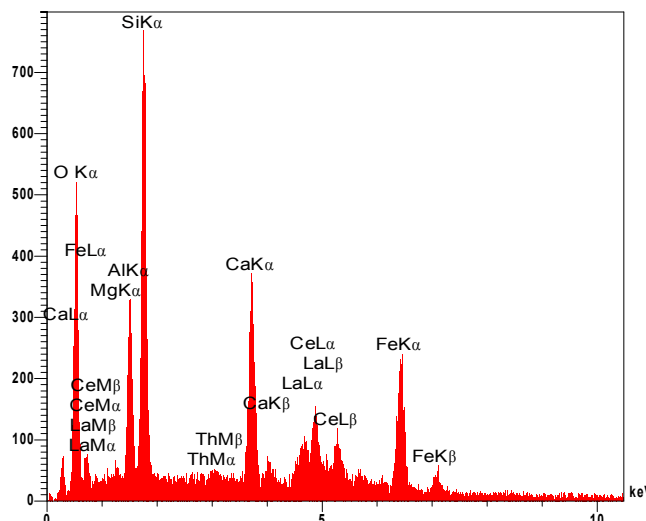
ماگمایی باشد. به سبب تغییر شرایط (شاید به سبب وجود جریان‌های همرفتی در اتاق مagmaئی) تا رسیدن به حالت تعادل شیمیائی و دینامیکی، بلورهای در حال رشد پلازیوکلاز پی در پی ترکیب کلسیکتر و یا سدیکتری پیدا می‌کنند. در مرحله‌ی تعادل ترکیب magma سدیکتر می‌شود و لذا پلازیوکلازهای با پوشش سدیک شکل می‌گیرند. نسل دوم؛ پلازیوکلازهای ریزبلوری هستند که دارای منطقه‌بندی عادی‌اند و در حاشیه نیز روند رشد پلازیوکلاز عادی بوده و همگام با پیشرفت تبلور حاشیه‌های غنی از سدیم در آن‌ها بوجود می‌آید.

از سویی دیگر برونبوم‌های پلازیوکلاز بافت آنترپاکیوی دارند (شکل ۴). یک نمونه از این نوع کانی‌ها تجزیه شدن (جدول ۲) و تصویر BSE آن در (شکل ۴ پ) دیده می‌شود. تغییرات آنورتیت و ارتوکلاز در این نمونه بیانگر آنست که بلور پلازیوکلاز به طور متوسط محتوی ۲۹ درصد آنورتیت و با پوششی از بلورهای فلدسپارقلیائی دربرگرفته شده است. این نوار پوششی از ۷۷ تا ۹۰ درصد ارتوکلاز برخوردارست (شکل ۴ پ و ت).

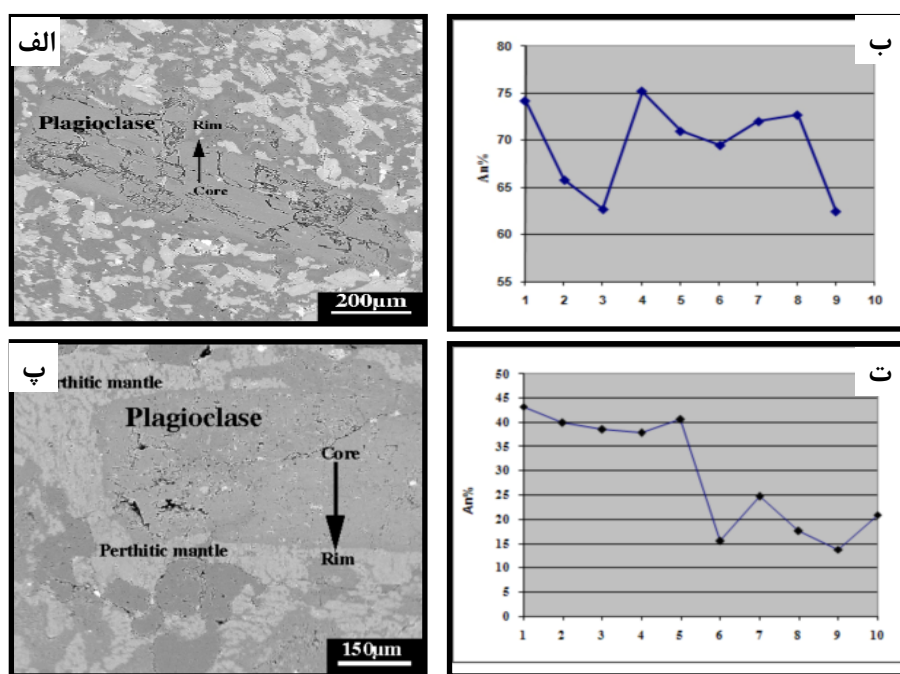
آمفیبول: آمفیبول‌ها در گستره‌ی منیزیوهرنبلند و دارای ساختار منطقه‌بندی شده‌ای دارند. به علاوه ترکیب کانی‌شناسی آن‌ها با آمفیبول‌های سنگ میزان شباخت زیادی دارد. نمونه‌های از این کانی مورد تجزیه قرار گرفته (جدول ۳) و نتایج بیانگر آنست که  $[Mg/(Mg + Fe^{+2})] = Mg\#$  در ترکیب منطقه‌ی هسته بالاتر از حاشیه (۶۱ تا ۷۲ درصد در هسته و در حاشیه ۵۵ تا ۵۷ درصد) است (شکل ۵).

**شیمی کانی‌ها**  
داده‌های بررسی‌های ریزپردازشی حاکی از آنست که پلازیوکلازها در توده‌ی میزان ترکیب آنورتیتی و آمفیبول‌ها در گستره‌ی منیزیوهرنبلند و دارای  $X_{Mg} < 0.18$  هستند [۱۰]. بیوتیت‌های واحد میزان از نوع بیوتیت‌های غنی از آهن و براساس رده‌بندی [۱۸] به بیوتیت‌های غنی از آهن گرانیت‌های آهکی - قلیایی تعلق دارند. نمونه‌ای از آلانیت‌های سنگ گرانودیوریتی میزان نیز مورد تجزیه XRD قرار گرفته که وجود  $13/9$  سریم،  $1/53$  توریم و  $8/92$  لانتانیوم (همگی به درصدوزنی) در ترکیب آن را نشان می‌دهد (شکل ۳).  
پلازیوکلاز: داده‌های ریزپردازش الکترونی بیانگر آنست که پلازیوکلازها در توده‌ی میزان بیشتر با ترکیب آنورتیت در حد ۲۰ تا ۴۳ درصد با میانگین  $22/5$  درصد، آندزین - اولیگوکلاز هستند. فلدسپارهای قلیایی از ترکیب  $(An_{0-1} Ab_{4-8} Or_{92-95})$  برخوردارند. در برونبوم‌ها بررسی‌های میکروسکوپی پلازیوکلازها نشان می‌دهد که این بلورها دارای دو نسل‌اند: نسل اول؛ پلازیوکلازهایی هستند که درشت‌بلور و هسته‌ی کلسیک (۷۵-۹۶) دارای منطقه‌بندی هستند. بررسی تجزیه‌ی الکترونی نقطه از نمونه‌ای از این درشت‌بلورها (جدول ۱) معلوم می‌دارد (شکل ۴ الف و ب) که همگام با تغییرات جزئی ترکیب magma، در ماگمای در حال رشد، مقدار کلسیم هسته رو به کاهش می‌گذارد، به علاوه این بلورها با افت ناگهانی مقدار کلسیم (در نقطه ۳) مواجه شده، سپس بار دیگر کلسیم افزایش می‌یابد، به‌طوریکه تغییرات درصد آنورتیت منطقه‌بندی نوسانی را به وجود می‌آورد.

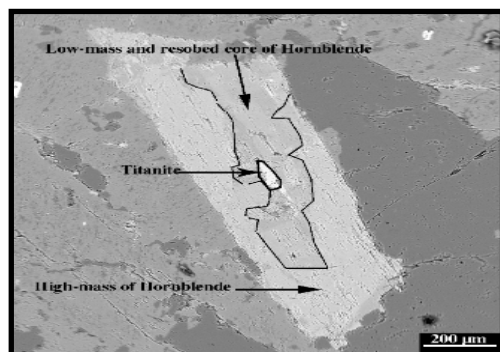
به اعتقاد [۲۰-۱۹] این تغییرات می‌تواند ناشی از اختلال



شکل ۳ الگوی پراش پرتو X بلور آلانیت موجود در گرانودیوریت میزان.



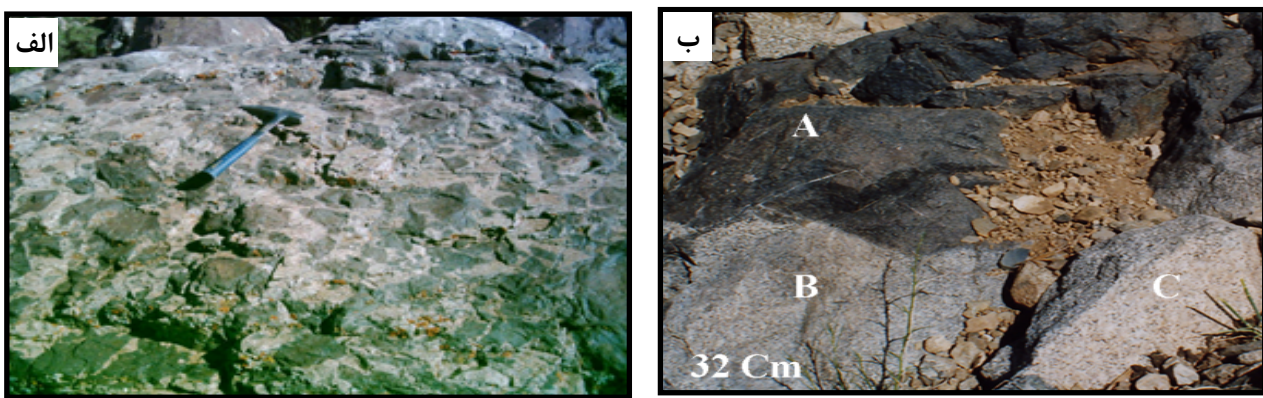
شکل ۴ (الف) تصویر BSE درشت بلوری از پلازیوکلازهای برونبیوم‌ها. پیکان مسیر تجزه را از هسته تا حاشیه بلور نشان می‌دهد. (ب) نمودار نشان‌دهندهٔ تغییرات منطقه‌بندی در بلور این پلازیوکلاز: از نقطه ۱ تا ۳ کاهش قابل توجهی در میزان آنورتیت و سپس افزایش آن به بیش از مقدار اولیه ( نقطه ۴ و نشان‌دهندهٔ منطقه‌بندی معکوس) و متعاقب آن روند کاهشی آنورتیت و ایجاد حاشیه‌ای با ترکیب سدیکتر. (پ) در تصویر BSE پلازیوکلازی که با پوششی از بلورهای فلدسپارقلایائی دربرگرفته شده است را نشان می‌دهد. (ت) وجود بافت منطقه‌بندی در بلور پلازیوکلازی از برونبیوم‌ها. نمودار نشان‌دهندهٔ تغییرات منطقه‌بندی پلازیوکلازی با منطقه‌بندی بهنجار در هسته و سپس به ترتیب کاهش، افزایش و به دنبال آن روند کاهشی آنورتیت (منطقه‌بندی از نوع بهنجار).



شکل ۵ تصویر BSE آمفیبولی با ساختار منطقه‌بندی. داده‌های آنالیز بیانگر آنست که  $Mg\#$  در ترکیب منطقه‌ی هسته‌ی این کانی بالاتر از حاشیه آن است. این شاهد بافتی بر اختلاط ماقمایی دلالت دارد.

(الف) حاشیه‌های سریع سردشده (chilled margins) که پیرامون این سنگ‌ها مشاهده می‌شود بر تبلور در محیط ماقمایی، که حاصل انجام سریع ماقمای مافیک داغ و در تماس با ماقمای سرددتر فلزیک است، دلالت دارد. به علاوه نبود بیوتیت‌هایی پیرامون برونبیوم‌ها نشانگر تبلور همزمان آنها با سنگ میزبان است. سطوح تماس کاملاً واضح و تیز نشان‌دهنده‌ی این واقعیت است که ماقمای گرانیتی طی جایگزینی،

بحث و بررسی  
خاستگاه برونبیوم‌ها؛ رستیت یا اختلاط ماقمایی؟  
برداشت‌های صحرائی (شکل‌های ۶ الف-ب)، بررسی‌های دقیق سنگنگاری و تجزیه‌ی ریزپردازش الکترونی کانی‌ها نشان می‌دهد که برونبیوم‌ها خاستگاه ماقمایی (آذرین) دارند و حاصل واکنش متقابل در اثر یک پدیده‌ی متاسوماتیسم (دگرنهادی) موضوعی نیستند. دلایل زیر از مهم‌ترین این ویژگی‌هاست:



شکل ۶ (الف) تصویری از انبوههای برونبومها در درون سنگ میزبان گرانیتوبئیدی. (ب) تصویری از برونبومی (A) که در محل تماس با سنگ میزبان گرانیتی (C) دستخوش تغییر ترکیب سنگشناسی (B) شده است. چنین شواهدی در منطقه‌ی مورد بررسی حاکی از پیدایش پدیده‌ی اختلاط ماقمایی در مقیاس محلی است.

منطقه و برونبومهای درون آن وابسته‌اند، هر یک جداگانه مورد توصیف قرار می‌گیرند:

#### ریخت‌شناسی سوزنی در آپاتیت‌ها

مقاطع نازک میکروسکوپی برونبومها و سنگ میزبان آن‌ها نشان می‌دهد که بلورهای آپاتیت به‌شکل بلورهای کشیده و بلند (بطور متوسط با نسبت طول به قطر قاعده ۱۰:۱) متبلور شده‌اند. این بافت از شواهد بافتی حاصل از اختلاط ماقمایی [۲۳] است. تبلور سریع گلbulهایی از ماقمای مافیک که در ماقمای نسبتاً سردرتر ماقمای فلسیک بهدام افتاده، باعث می‌شود آپاتیتها پیش از آنکه به صورت بلورهای منشوری و قطور درآیند، شکل سوزنی به‌خود بگیرند [۱۹] (شکل ۷ الف). البته در بسیاری از موارد رشد بلورهای آپاتیت سوزنی ناشی از رشد سریع ماقمای حامل است، ولی آپاتیت یک کانی زودت‌شکیل شده است و لذا به نظر می‌رسد نظریه آمیختگی ماقمای مافیک با ماقمای فلسیک (اختلاط ماقمایی) قابل قبول‌تر باشد.

۲- پلاژیوکلازهای سلولی دارای بافت غربالی (sieve texture) یکی از شواهد مهم نشان‌دهنده‌ی دو رگهای شدن (هیبرید) ماقمای فلسیک و بازی، وجود رشد پوششی چشمگیر همراه با ادخال‌های ریزی از کانی‌های زمینه است [۲۴]. در برونبومها پلاژیوکلازهایی وجود دارند که در حاشیه‌ی رورشده آنها، بلورهایی از آمفیبول، کوارتز، فلدسپار در برگرفته شده‌اند. اندازه‌ی ادخال‌ها کوچک‌تر یا برابر اندازه‌ی کانی‌های زمینه و ترکیب‌شان نیز مشابه ترکیب آن‌هاست (شکل ۷ ب).

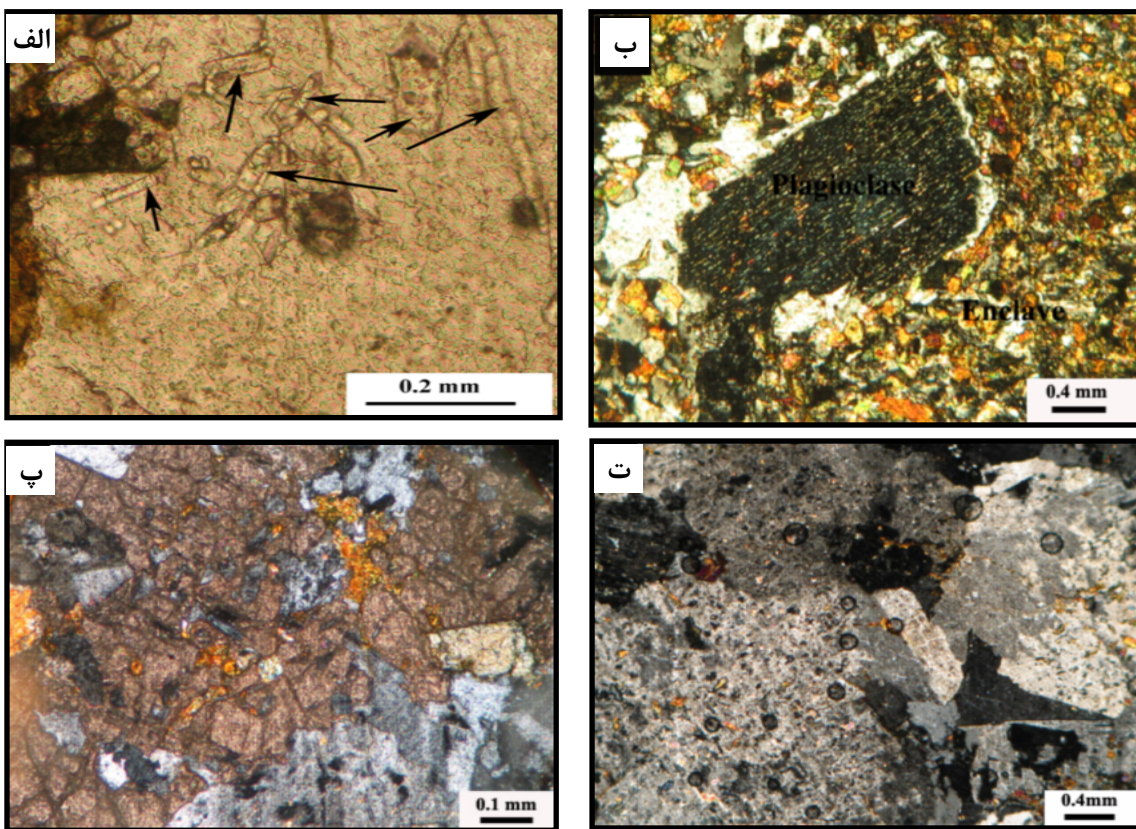
ضمن سرد کردن برونبومها آن‌ها را نیز با خود حمل کرده است. از طرفی وجود برونبومهایی با حاشیه‌های گل‌کلمی تا کنگره‌ای بر فعال بودن نه چندان زیاد فرایند اختلاط ماقمایی دلالت دارد.

ب) وجود پلاژیوکلازهایی که هم به صورت فنوکریست و هم ریزدانه در زمینه‌ی سنگ، از ماکل و منطقه‌بندی برخوردارند، تنها با تبلور در حالت ماقما سازگار و شاهد دیگری بر خاستگاه آذربین برونبوم‌هاست.

ج) بلورهای کشیده و یوهدرال پلاژیوکلاز و هورنبلند که یکی از شاخص‌های معمول در سنگ‌های آذربین‌اند، نیز در برونبوم‌های ریزدانه مافیک این منطقه به فراوانی یافت می‌شوند. از طرف دیگر بافت‌های دگرگونی که شاخص رستیت بودن برونبوم‌هاست در آن‌ها مشاهده نشده است. حضور بلورهای کوارتز در آنها و فقدان بافت‌های کومولیتی ریز دانه اتوپیت بودن برونبوم‌ها را منتفی می‌سازد.

#### اختلاط ماقمایی

بررسیهای دقیق و جزئی‌تر در مرز تماس برونبومها با سنگ میزبان، نشان می‌دهد که ترکیب سنگ‌شناسی تغییرکرده و یک منطقه‌ی واکنش متقابل بین دو ترکیب برونبوم و میزبان ایجاد کرده است. این هاله با ضخامت کم ترکیب کوارتز مونزودیوریت تا تونالیت-گرانوودیوریتی ناهمگن (شکل‌های ۶ الف-ب) دارد که در آن برونبوم‌های مافیک در اندازه‌ها، شکل‌ها و ترکیب‌های متفاوت توزیع شده‌اند و به اعتقاد [۲۲] این ویژگی بر اختلاط ماقمایی دلالت دارد. شواهد بافتی زیر که همگی به این



شکل ۷ شواهد بافتی و کانی‌شناسی میکروسکوپی از اختلاط ماقمایی در منطقه‌ی مورد بررسی. (الف) بلورهای سوزنی آپاتیت، (ب) بلور پلازیوکلازی با بافت غربالی، (پ) هرشدی فلدسپار قلیایی و اسفن، (ت) بلورهای پلازیوکلاز با بافت پوئی کلیتیک کوارتز و فلدسپار قلیایی.

ذوب بخشی و انتشار چندگن را تجربه می‌کند و با افزایش دما، تنها یک رستیت کلسیکتر از کانی باقی می‌ماند [۲۶-۲۷]. واکنش انحلالی پلازیوکلازهای کلسیکتر (ماگمای بازی) با یک گدازه‌ی سدیکتر (ماگمای میزبان) پلازیوکلازی را به وجود می‌آورد که نسبت به پلازیوکلاز اصلی (هسته) از آنورتیت کمتری برخوردار است، اما نسبت به ماده‌ی گدازه‌ی همزیست خود ممکن است کلسیکتر نیز باشد [۱۹]. ناتعادلی بافتی و ترکیبی در پلازیوکلازها، مثل نبود ترکیبی قابل توجه و بزرگ بین هسته کلسیک و پوشش سدیک، به شدت بر اختلاط ماقمایی دلالت دارد. ماندگاری و نگهداری عالم ناتعادلی مستلزم تبلور سریع و اختلاط ناکامل است [۲۸].

پلازیوکلازهایی با رورشده‌یهایی از فلدسپار قلیایی چنانکه قبل اشاره شد برخی پلازیوکلازها بافت آنتیراپاکیوی دارند و بلور پلازیوکلاز با فلدسپار قلیایی احاطه شده‌است. این بافت در فهرست بافت‌های حاصل از اختلاط ماقمایی [۱۹، ۲۹] می‌شود.

#### پلازیوکلازهایی با زونینگ و بافت resorption

نتایج پیمایش عرضی تجزیه ریزپردازی الکترونی در پلازیوکلازهای برونبوهم‌های ریزدانه مافیک و گرانودیوریت، بیانگر وجود منطقه‌بندی است (شکل‌های ۴ و ۷ ب). به اعتقاد [۲۴] پیچیدگی‌ها و ناپیوستگی‌های منطقه‌بندی مشاهده شده در الگوی فتوکریسته‌های این کانی بازتاب دهنده‌ی انحلال یا تغییر ترکیب ناشی از اختلاط ماقمایی است. [۲۵] نیز انحلال حاشیه‌ی پلازیوکلازها را متأثر از صعود ناگهانی دما، بالارفتن آندیس فعالیت (اکتیویته) آب و کاهش فشار تلقی کرده‌است. بنابراین چنین بافتی به سبب ناتعادلی‌های گرمایی و شیمیائی بین برونبوهم‌های ریزدانه مافیک و گرانیتوئید میزبانش ایجاد می‌شود. گاهی حاشیه‌ای سدیک (با کلسیم ۴۰-۲۰ درصد) پیرامون هسته‌ی کلسیک دوباره جذب شده (با کلسیم ۹۰-۸۵ درصد) را احاطه کرده‌است. تشکیل این فرایند پیچیده اینگونه تفسیر می‌شود: بلور پلازیوکلازی که از یک ماگما فلزیک متبلور شده، درون ماگمای مافیک به دام می‌افتد و به دنبال

### بسته‌های غنی از آمفیبول

یکی از خاستگاه‌های انبوه‌های آمفیبولی بر اساس آنچه [۱۵] عنوان کرده است، آمیختگی ماقماهای متضاد است. بر اساس شواهد سنگنگاری و صحرایی سنتگ‌های مجموعه‌ی پلتوتونیک قروه تصور می‌شود بسته‌های غنی از آمفیبول این مجموعه قطعاتی از آمیختگی ماقماهای مافیک و اسیدی باشند. البته اثبات این فرضیه نیازمند بررسی‌های دقیق‌تر شیمی کانی این بسته‌است.

### نتیجه گیری

از مجموع بررسی‌های روابط صحرائی و سنگنگاری معلوم می‌شود که حداقل دو فاز ماقمائی با ترکیب متضاد فلسیک و مافیک در منطقه وجود داشته که با اختلاف زمانی کم یا تقریباً همزمان نفوذ کرده‌اند. در فاز گرانیتوبئیدی، برونبوم‌های ریزدانه مافیک در اندازه‌های مختلف پراکنده هستند. حاشیه‌های باریک به ضخامت چند سانتی‌متر در مرز بین برونبوم‌ها و سنگ‌های میزبان‌شان ترکیب آنها را به سمت کوارتز مونزوودیوریت تا تونالیت کشیده است. برای ژنز برونبوم‌ها [۳۲] سه نظریه‌ی مهم را به صورت زیر خلاصه کرده است: ۱) قطعاتی از سنگ دیواره یا حاشیه‌های سرد شده اولیه توده‌های نفوذی هستند، ۲) قطعاتی از سنگ‌های دگرگون شده، تجدید تبلور یافته و دیرگذازی هستند که باقی مانده‌هایی از خاستگاه گرانیت‌ها محسوب می‌شوند و ۳) گلbulهایی از ماقمای مافیکی هستند که با ماقمای میزبان فلسیک آمیخته شده‌اند.

شواهد شیمی‌کانی و بافتی شامل پلازیوکلازهای سلولی دارای نواهایی پر از ادخال، پلازیوکلازهایی با منطقه‌بندی و بافت اتحالی، آپاتیت‌های سوزنی، فلدسپارهایی با رورشده‌های قلیائی، همرشدی اسفن و فلدسپار، بافت پوئی‌کلیتیک در کوارتز و فلدسپار قلیائی، آمفیبول‌های منطقه‌بندی شده و نیز بسته‌های غنی از آمفیبول این فرضیه را حمایت می‌کند که اختلاط ماقمای در مقیاس محلی در محل تماس دو ماقمای مافیک و فلسیک و در نتیجه حاصل شدن ماقمایی همگن با ترکیب حدواتسط با حجمی اندک صورت پذیرفته است.

با نگاهی بر زمین‌دما-فشار‌سنجی [۳۳]، روابط صحرائی و سنگنگاری، توده‌ی میزبان مشخصات توده‌های نفوذی کم عمقی و در سطوح فوقانی پوسته جایگزین شده است. به علاوه حجم زیاد ماقمای میزبان مانع از اختلاط کامل بوده و به-

آورده شده است. این پلازیوکلازهای اثرهایی از انحلال بلور اولیه (پلازیوکلاز) و سپس رشد فلدسپار قلیائی در حاشیه را نشان می‌دهند (شکل ۴). چنین پلازیوکلازهایی بنام پلازیوکلازهای بوشش‌دارشده (mantled) نیز خوانده شده و به اعتقاد [۱۹، ۲۹] ممکن است به عنوان محصول اختلاط (و یا حتی مجاورت) ماقمایی با دمای نزدیک به دمای آبگون و سرشار از سازندگان فلدسپار قلیائی با ماقمایی مافیکی، که در آن پلازیوکلاز شکل گرفته است، باشد.

### هم‌رشدی بلورهای اسفن و فلدسپار

در مقاطع نازک برونبوم‌ها نوعی همزیستی به صورت تقریباً عدسی‌شکل از بلورهای اسفن و فلدسپار وجود دارد. بلورهای اسفن عمولاً به صورت افتیکی تیغه‌ای فلدسپارهای کلسیک (پلازیوکلاز) را در برمی‌گیرند (شکل ۷ پ). [۱۹] ضمن اعتقاد به نادربودن چنین بافتی، تشکیل آن را مستلزم یک مدل دو مرحله‌ای از آمیختگی می‌داند.

بافت پوئی‌کلیتیک در کوارتز و فلدسپار قلیائی برخی از برونبوم‌ها بلورهای نسبتاً درشت با بافت پوئی‌کلیتیک از جنس کوارتز و فلدسپار قلیائی دارند که بلورهای کوچک‌تر پلازیوکلاز، هورنبلنده، بیوتیت و آپاتیت را دربرگرفته‌اند (شکل ۷د). چنین هم‌رشدی‌هایی شاهدی بر یکسان‌بودن سرعت سردشدن برونبوم‌های حامل این کانی‌ها و ماقمای گرانیتی دربرگیرنده‌ی آنها است [۲۷]. این کانی‌ها در دمای پایین‌تر شروع به هسته‌سازی می‌کنند و شبیه کانی‌های ماقمای گرانیتی دیگر دربرگیرنده، دارای سرعت هسته‌سازی نسبتاً کمتر و سرعت رشد زیادتری هستند.

### آمفیبول‌های منطقه‌بندی شده

چنانکه در بحث شیمی کانی آمفیبول اشاره شد آمفیبول‌ها دارای منطقه‌بندی ترکیبی و عدد منیزیمی در ترکیب هسته و حاشیه‌ی این کانی متفاوت است. این تغییرات دلالت بر ترکیبی بر متغیر بودن شرایط تبلور در ماقما دارد [۳۰] و به عقیده‌ی دورایس (مذاکرات شفاهی، ۲۰۱۱) قویاً نشانه‌ی اختلاط ماقمایی است (شکل ۵). [۳۱] نیز معتقد است این ویژگی حاکی از تغییر ترکیب اندک ماقما در زمان رشد بلور است. [۲۰] آن را نشانه‌ای بر آمیختگی ماقمای مافیک و ماقمای فلسیک یعنی اختلاط ماقمایی می‌دانند.

(ed.), Dyke Swarms: Keys for Geodynamic Interpretation, Springer-Verlag Berlin Heidelberg (2011), pp. 331-342.

[۷] سپاهی ع.ا., نقش زینولیت‌ها، برونبومها و دایکهای همزمان با پلوتونیسم در تفسیر تحول ماقمایی مجموعه پلوتونیک الوند: با تأکید بر شواهد زمین‌شناسی و کانی‌شناسی مربوط به آمیختگی ماقمایی، مجله بلورشناسی و کانی‌شناسی ایران، شماره ۲(۱۳۸۷) ص. ۲۴۸-۲۳۴.

[۸] طهماسبی ز، خلیلی م، احمدی خلجی ا، سر جوقیان ف، "شواهد کانی‌شناسی و ظویشیمیائی آمیختگی ماقمایی در برونبوم‌های موجود در سنگهای گرانودیوریتی منطقه آستانه (جنوب غرب اراک)"، مجله بلورشناسی و کانی‌شناسی ایران، شماره ۴(۱۳۸۸) ص. ۶۰۸-۵۹۱.

[۹] سنگ قلعه ر، پترولوزی سنگ‌های آذرین جنوب قلعه، پایان نامه کارشناسی ارشد، دانشگاه شهید بهشتی تهران (۱۳۷۴)، ص. ۱۵۶.

[۱۰] ترکیان ا، مطالعه ماقماییسم توده گرانودیوریتی در منطقه جنوب قروه - سندج، پایان نامه دوره دکتری، دانشگاه اصفهان (۱۳۸۷). ایران. ۱۷۵ ص.

[۱۱] حسینی م، "شرح نقشه زمین‌شناسی ۱:۱۰۰۰۰۰ چهار گوش قروه (پیوست نقشه)"، سازمان زمین‌شناسی و اکتشافات معدنی کشور (۱۳۷۶).

[12] Mahmoudi SH., Corfu F., Masoudi F., Mehrabi B., Mohajjal M., "U-Pb dating & emplacement history of granitoid plutons in the northern Sanandaj-Iran", Journal of South American Earth Sciences (2011). In press.

[13] Slaby E., Martin H., "Mafic and felsic magma interaction in granites: the Hercynian Karkonosze pluton (Sudetes, Bohemian massif)", Journal of Petrology 49 (2) (2008) 353-391.

[14] Sial A.N., Ferreira V.P., Fallick A.E., Cruz M.J.M., "Amphibole-rich clots in calc-alkaline granitoids in the Borborema province, northeastern Brazil", Journal of South American Earth Sciences 11(5) (1998) 457-471.

[15] Castro A., Stephens W.E., "Amphibole-rich polycrystalline clots in calc-alkaline granitic rocks and their enclaves", Canadian Mineralogist 30 (1992) 1093-1112.

[16] Stephens W.E., "Polycrystalline amphibole aggregates (clots) in granites as potential I-type restite: an ion microprobe study of rare-earth

عقیده‌ی [۳۴]، برخورد و یا نفوذ ماقمای مافیک به درون ماقمای فلزیک بعداز تبلور بخشی ماقمای فلزیک صورت می‌گیرد و لذا اختلاف چسبندگی و دمای کمتر ماقمای دربرگیرنده‌ی اسیدی سبب می‌شود ماقمای مافیک به شکل گلوله‌های مافیک برونویم سرد شود. در تأیید این مطلب به عقیده‌ی [۳۵] چنین برونویم‌های ریزدانه مافیکی فرآورده اختلاط ناکامل بین ماقمای‌های (مافیک و فلزیک) متضادی استند که همچنان ویژگی‌های خود را حفظ کرده‌اند.

نبود آثاری از قطعات رستیت و زینولیت در این مجموعه بر بالا بودن دمای ماقمای مافیک دلالت دارد. این فرضیه با اختصاصات ظویشیمیائی مجموعه پلوتونیک و محیط زمین- ساخت جهانی آن که یک محیط حاشیه‌ی فعال قاره‌ای است همخوانی دارد. در نتیجه به خاطر همخوانی شواهد بافتی و داده‌های شیمی کانی نظریه‌ی [۳۲] را در این خصوص می‌پذیریم که در این منطقه گلوبول‌هایی از ماقمای مافیک و سنگ میزبان گرانیتوئیدی حداقل طی یک فرایند اختلاط ماقمای با یکدیگر آمیخته شده‌اند.

#### مراجع

- [1] Didier J., "Granites and their Enclaves", Developments in petrology, Elsevier, Amsterdam, London (1973) 393p.
- [2] Didier J., Barbarin B., "Conclusions: Enclaves and granite petrology", In: Didier, J. & Barbarin, B. (Eds.), Enclaves and Granite Petrology, Elsevier (1991), Amsterdam, 545-549.
- [3] Debon F., "Comparative major element chemistry in various "microgranular enclave-plutonic host pairs", In: Didier, J. and Barbarin, B. (Eds.), Enclaves and Granite Petrology, Elsevier, Amsterdam, (1991) 293-312.
- [4] Leake B.E et al., "Nomenclature of amphiboles, Report of Subcommittee on Amphiboles of the International Mineralogical Association Commission on New Minerals and Mineral Names", European Journal of Mineralogy 9 (1997) 623-651.
- [5] Ghasemi A., Talbot C.J., "A new tectonic scenario for the Sanandaj-Sirjan Zone (Iran)", Journal of Asian Earth Sciences 26(6) (2005) 683-693.
- [6] Torkian A., "The Parishan Pluton in Qorveh Area, an Example for Magma Mingling process, Southeastern Sanandaj, Iran", In: Srivastava R.K.

- [26] Blundy J.D., Sparks S.J., "Petrogenesis of mafic inclusions granitoids of the Adamello Massif, Italy", *Journal of Petrology* 33(5) (1992) 1039-1139.
- [27] Xe X. Dong C.W., Li W.X., Zhou X.M., "Late Mesozoic intrusive complexes in the coastal area of Fujian, SE China: the significance of the gabbro-diorite-granite association", *Lithos* 46 (1999) 299-315.
- [28] Chen B., Jahn B. M., Wei C., "Petrogenesis of Mesozoic granitoids in the Dabie UHP complex, central China: trace element and Nd-Sr isotope evidence", *Lithos* 60 (2002) 67-88.
- [29] Arslan M., Aslan Z., "Mineralogy, petrology and whole-rock geochemistry of the Tertiary granitic intrusions in the Eastern Pontides, Turkey", *Journal of Asian Earth Sciences* 27 (2006) 177-193.
- [30] Dorais M.J., Whitney J.A., Roden M.F., "The origin of mafic enclaves from the Dinkey Creek Pluton, Central Sierra Nevada Batholith", *Journal of Petrology* 31 (1990) 53-81.
- [31] Vernon R.H., "A practical guide to rock microstructural", (2004) Cambridge, 594p.
- [32] Elburg M.A., "Evidence of isotopic equilibration between microgranitoid enclaves and host granodiorite, Warburton Granodiorite, Lachlan Fold Belt, Australia", *Lithos* 38 (1996) 1-22.
- [۳۳] ترکیان ا., طهماسبی ز., "ترمو-بارومتری تووده گرانوئیدی مجموعه گرانیتوئیدی قروه (جنوب شرقی استان کردستان)", مجله یافته‌های نوین زمین‌شناسی کاربردی، دانشگاه بولنی سینا همدان (۱۳۸۸) چ. ۴۱-۳۳.
- [34] Barbarin B., "Mafic magmatic enclaves and mafic rocks associated with some granitoids of the Central Sierra Nevada Botholith, California: nature, origin and relations with the hosts", *Lithos* 80 (2005) 155-177.
- [35] Orsini J.B., Cocirita C., Zorpi M.J., "Genesis of mafic microgranular enclaves through differentiation of basic magmas, mingling and chemical exchanges with their host granitoid magmas", In: Didier, J. and Barbarin, B. (Eds.), *Enclaves and Granite Petrology*, Elsevier, Amsterdam, (1991) 445-464.
- distributions", *Australian Journal of Earth Sciences* 48 (2001) 591-601.
- [17] Didier J., Barbarin B., "The different types of enclaves in granites—nomenclature", In: Didier J. & Barbarin B. (Eds.), *Enclaves and Granite Petrology*, Elsevier, Amsterdam, (1991) 19-24.
- [18] Abdel-Rahman A., "Nature of biotites from alkaline, calc-alkaline, and peraluminous magmas", *Journal of Petrology* 35(2) (1994) 525-541.
- [19] Hibbard M.J., "Textural anatomy of twelve magma-mixed granitoid systems", In: Didier J. & Barbarin B. (Eds.), *Enclaves and Granite Petrology, Developments in Petrology*, Elsevier, Amsterdam (1991) 431-444.
- [20] Waught T.E., Maas R., Nicholls I.A., "Fingerprinting feldspar phenocrysts using crystal isotopic composition stratigraphy: implications for crystal and magma mingling in S-type granites", *Contribution to Mineralogy and Petrology* 139 (2000) 227-239.
- [21] Richard LR, "MinPet: Mineralogical and petrological data processing system, version 2.02 MinPet Geological Software", (1995) Québec.
- [22] Yang J.H., Wu F.Y., Chung S.L., Wilde S.A., Chu C.H., Lo M.F., Song B., "Petrogenesis of Early Cretaceous intrusions in the Sulu ultrahigh-pressure orogenic belt, east China and their relationship to lithospheric thinning", *Chemical Geology* 222 (2005) 200-231.
- [23] Didier J., "Contribution of enclaves in the Hercynian granitoids of the Massif Central, France", In: Didier J. and Barbarin B. (Eds.), *Enclaves and Granite Petrology*, Elsevier, Amsterdam (1987) 47-62.
- [24] Vernon R.H., "Interpretation of microstructures of microgranitoid enclaves", In: Didier, J. and Barbarin, B., (2nd) (Eds.), *Developments in Petrology*. Enclaves and granite petrology, Elsevier, Amsterdam, (1991) 277-292.
- [25] Castro A., "Plagioclase morphologies in assimilation experiments, Implications for disequilibrium melting in the generation of granodiorite rocks", *Minerl. Petrol.* 71 (2001) 31-49.